

## МЮОННЫЙ ЛЭМБОВСКИЙ СДВИГ В ТРЕХЧАСТИЧНЫХ МЮОН-ЭЛЕКТРОННЫХ СИСТЕМАХ В КВАНТОВОЙ ЭЛЕКТРОДИНАМИКЕ

В. И. Коробов<sup>1,2</sup>, А. П. Мартыненко<sup>2</sup>, Ф. А. Мартыненко<sup>2</sup>, А. В. Эскин<sup>2</sup>

*Вычислен мюонный лэмбовский сдвиг ( $2P-2S$ ) в электрон-мюонных ионах гелия, лития, бериллия и бора в рамках аналитической теории возмущений и на основе стохастического вариационного метода в квантовой электродинамике. Показано, что эффекты кулоновского взаимодействия электрона с мюоном и ядром приводят к небольшому изменению величины лэмбовского сдвига по сравнению с двухчастичными системами мюон-ядро.*

**Ключевые слова:** мюонные атомы и ионы, квантовая электродинамика, тонкая структура.

*Введение.* Исследование энергетических уровней мюонных экзотических атомов представляет значительный интерес, так как позволяет осуществлять проверку квантовой электродинамики (КЭД) с высокой точностью и получать более точные значения ряда фундаментальных параметров. Так, например, измерение частот перехода между низлежащими уровнями энергии в мюонном водороде и ионе мюонного гелия позволило улучшить значения зарядовых радиусов протона, дейтрона и  $\alpha$ -частицы [1, 2]. Улучшение измерений лэмбовского сдвига в мюонном водороде в пять раз на установке CREMA позволит определить зарядовый радиус протона с точностью  $10^{-4}$  [3]. Коллаборация CREMA планирует включить в область исследований другие мюонные системы с легкими ядрами, такими как мюонный литий и бериллий [4]. В новые планы прецизионной микроволновой спектроскопии коллаборации J-PARC MUSE [5] входит измерение сверхтонкой структуры (СТС) основного состояния мюон-электронного гелия ( $\mu - e - He$ ) с точностью, на два порядка превосходящей точность предыдущих

<sup>1</sup> Лаборатория теоретической физики им. Н. Н. Боголюбова ОИЯИ, Россия, Дубна,

<sup>2</sup> Самарский университет, 443086 Россия, Самара, Московское ш., 34; e-mail: a.p.martynenko@samsu.ru.

экспериментов в 1980-х годах [6]. Другая интересная задача связана с мюонным лэмбовским сдвигом в атоме ( $\mu - e - He$ ) или в мюон-электронных системах с легкими ядрами. Исследование сверхтонкой структуры и электронного лэмбовского сдвига в таких кулоновских системах выполнено нами в предыдущих работах [7–9]. В данной работе мы исследуем, как присутствие электрона может повлиять на измерение мюонного лэмбовского сдвига в трехчастичных системах.

При изучении тонкой и сверхтонкой структуры спектра в системах мюон–электрон–ядро используют обычно два метода. Один из них – вариационный метод, который позволяет находить волновые функции и значения энергий с очень высокой точностью [10–17]. Другой аналитический метод расчета уровней энергии был сформулирован в работе [18] и применен для расчета сверхтонкой структуры спектра и электронного лэмбовского сдвига в [8, 9, 18–21]. В этом подходе различные поправки в спектре энергии вычисляются по теории возмущений (ТВ) в КЭД.

*Аналитический метод расчета лэмбовского сдвига.* Для расчета уровней энергии методом аналитической теории возмущений представим гамильтониан трехчастичной системы ядро–мюон–электрон в виде суммы нескольких частей, выделив основной вклад кулоновского взаимодействия  $H_0$  [18, 21]:

$$H = H_0 + \Delta H + \Delta H_{\text{rec}} + \Delta H_{\text{vp}} + \Delta H_{\text{str}} + \Delta H_{\text{vert}}, \quad (1)$$

$$H_0 = -\frac{1}{2M_\mu} \nabla_\mu^2 - \frac{1}{2M_e} \nabla_e^2 - \frac{Z\alpha}{x_\mu} - \frac{(Z-1)\alpha}{x_e}, \quad (2)$$

$$\Delta H = \frac{\alpha}{|\mathbf{x}_\mu - \mathbf{x}_e|} - \frac{\alpha}{x_e}, \quad \Delta H_{\text{rec}} = -\frac{1}{M} \nabla_\mu \cdot \nabla_e, \quad (3)$$

где  $\mathbf{x}_\mu$  и  $\mathbf{x}_e$  – радиусы-векторы мюона и электрона относительно ядра,  $Ze$  – заряд ядра. Слагаемые  $\Delta H_{\text{vp}}$ ,  $\Delta H_{\text{str}}$  и  $\Delta H_{\text{vert}}$  обозначают вклады на поляризацию вакуума, структуру ядра и вершинные поправки. В (1) использована система единиц, в которой  $\hbar = c = 1$ , а  $\alpha = e^2$  – постоянная тонкой структуры. Ядро имеет конечную массу  $M$ , и слагаемое гамильтониана  $\Delta H_{\text{rec}}$  в (3) определяет эффект отдачи ядра. Приведенные массы в подсистемах электрон–ядро, мюон–ядро равны

$$M_e = \frac{m_e M}{(m_e + M)}, \quad M_\mu = \frac{m_\mu M}{(m_\mu + M)}, \quad (4)$$

где массы электрона и мюона обозначены через  $m_e$  и  $m_\mu$ , соответственно.

Выбирая гамильтониан системы в виде  $H_0$ , получим точное решение для волновой функции системы:

$$\Psi_{2S}(\mathbf{x}_e, \mathbf{x}_\mu) = \psi_{e\ 1S}(\mathbf{x}_e)\psi_{\mu\ 2S}(\mathbf{x}_\mu) = \frac{(W_e W_\mu)^{3/2}}{2\sqrt{2\pi}} \left(1 - \frac{W_\mu x_\mu}{2}\right) e^{-\frac{W_\mu x_\mu}{2}} e^{-W_e x_e}, \quad (5)$$

$$\Psi_{2P}(\mathbf{x}_e, \mathbf{x}_\mu) = \psi_{e\ 1S}(\mathbf{x}_e)\psi_{\mu\ 2P}(\mathbf{x}_\mu) = \frac{(W_e W_\mu)^{3/2}}{4\sqrt{2\pi}} (W_\mu x_\mu) e^{-\frac{W_\mu x_\mu}{2}} e^{-W_e x_e} (\boldsymbol{\varepsilon}\mathbf{n}), \quad (6)$$

$$W_\mu = Z\alpha M_\mu, \quad W_e = (Z - 1)\alpha M_e. \quad (7)$$

Используя (5)–(6), можно выполнять аналитический расчет различных поправок по теории возмущений.

В лидирующем порядке энергия связи частиц равна сумме кулоновских энергий связи мюона и электрона, но в разности  $(2P - 2S)$  эти энергии сокращаются. В первом порядке теории возмущений кулоновское взаимодействие  $\Delta H$  дает следующие вклады в уровни энергии  $2S$  и  $2P$  состояний:

$$\Delta E^{(1)}(2S) = \left\langle \Psi_{2S} \left| \left( \frac{\alpha}{x_{\mu e}} - \frac{\alpha}{x_e} \right) \right| \Psi_{2S} \right\rangle = W_e \alpha (-28a_1^2 + 220a_1^3 - 1152a_1^4 \dots), \quad (8)$$

$$\Delta E^{(1)}(2P) = \left\langle \Psi_{2P} \left| \left( \frac{\alpha}{x_{\mu e}} - \frac{\alpha}{x_e} \right) \right| \Psi_{2P} \right\rangle = W_e \alpha (-20a_1^2 + 140a_1^3 - 672a_1^4 \dots),$$

$$\Delta E^{(1)}(2P - 2S) = W_e \alpha \frac{8a_1^2}{(1 + 2a_1)^5}, \quad a_1 = \frac{W_e}{W_\mu}. \quad (9)$$

Результаты (8) представлены в виде разложения по параметру  $a_1$ .

При расчете поправок во втором порядке ТВ по  $\Delta H$  необходимо рассмотреть вклады от разных промежуточных состояний мюона. Если мюон находится в промежуточном состоянии  $n = 2S$ , то вклад имеет вид:

$$\Delta E_{2S}^{(2)}(n = 2S) = \int \psi_{\mu 2S}(\mathbf{x}_\mu) \psi_{e 1S}(\mathbf{x}_e) \left( \frac{\alpha}{x_{\mu e}} - \frac{\alpha}{x_e} \right) \psi_{\mu 2S}(\mathbf{x}_\mu) \left( \frac{\alpha}{x'_{\mu e}} - \frac{\alpha}{x'_e} \right) \times \quad (10)$$

$$\times \psi_{\mu 2S}(\mathbf{x}'_\mu) \psi_{e 1S}(\mathbf{x}'_e) \tilde{G}_{e 1S}(\mathbf{x}_e, \mathbf{x}'_e) \psi_{\mu 2S}(\mathbf{x}'_\mu) d\mathbf{x}_\mu d\mathbf{x}'_\mu d\mathbf{x}_e d\mathbf{x}'_e,$$

где  $\tilde{G}_{e 1S}(\mathbf{x}_e, \mathbf{x}'_e)$  – редуцированная кулоновская функция Грина электрона для состояния  $1S$ . Нижний индекс  $2S$  у энергии обозначает вклад для мюона в  $2S$  исходном состоянии. Выражение (10) содержит два одинаковых интеграла по координатам мюона, которые вычисляются аналитически:

$$V_\mu(\mathbf{x}_e) = \int d\mathbf{x}_\mu |\psi_{\mu 2S}(\mathbf{x}_\mu)|^2 \left( \frac{\alpha}{x_{\mu e}} - \frac{\alpha}{x_e} \right) =$$

$$= -\frac{\alpha e^{-W_\mu x_e}}{8x_e} (8 + 6W_\mu x_e + 2(W_\mu x_e)^2 + (W_\mu x_e)^3). \quad (11)$$

С помощью явного выражения для  $\tilde{G}_{e1S}(\mathbf{x}_e, \mathbf{x}'_e)$  [8, 9] и (11) получим вклад в энергию  $2S$  после аналитического интегрирования и разложения по  $a_1$ :

$$\Delta E_{2S}^{(2)}(n = 2S) = -M_e \alpha^2 a_1^3 \left[ \frac{5993}{64} + a_1 \left( \frac{24111}{64} - 3136 \ln 4a_1 \right) + \dots \right]. \quad (12)$$

Аналогичный результат для мюона в  $2P$  состоянии определяется выражением:

$$\Delta E_{2P}^{(2)}(n = 2P) = -M_e \alpha^2 a_1^3 \left[ \frac{31329}{576} + a_1 \left( -\frac{80895}{576} - 14400 \ln 4a_1 \right) + \dots \right]. \quad (13)$$

Если мюон находится в промежуточном состоянии, которое не совпадает с  $2S$  (или  $2P$ ), то во втором порядке ТВ такой вклад определяется следующим выражением:

$$\begin{aligned} \Delta E_{2S}^{(2)}(n = 2S) &= \int \psi_{\mu 2S}(\mathbf{x}_\mu) \psi_{e1S}(\mathbf{x}_e) \left( \frac{\alpha}{x_{\mu e}} - \frac{\alpha}{x_e} \right) \psi_{\mu 2S}(\mathbf{x}'_\mu) d\mathbf{x}_e d\mathbf{x}'_e d\mathbf{x}_\mu d\mathbf{x}'_\mu \times \\ &\times \sum_{n \neq 2S} \psi_{\mu n}(\mathbf{x}_\mu) \psi_{\mu n}^*(\mathbf{x}'_\mu) \sum_{n'} \frac{\psi_{en'}(\mathbf{x}_e) \psi_{en'}^*(\mathbf{x}'_e)}{E_{e1S} - E_{en'} + E_{\mu 2S} - E_{\mu n}} \left( \frac{\alpha}{x'_{\mu e}} - \frac{\alpha}{x'_e} \right) \psi_{e1S}(\mathbf{x}'_e). \end{aligned} \quad (14)$$

Для аналитического расчета интегралов заменим в (14) точную кулоновскую функцию Грина электрона на свободную функцию Грина в лидирующем порядке по  $a_1$ :

$$G_e(\mathbf{x}_e, \mathbf{x}'_e) = \sum_{n'} \frac{\psi_{en'}(\mathbf{x}_e) \psi_{en'}^*(\mathbf{x}'_e)}{E_{e1S} - E_{en'} + E_{\mu 2S} - E_{\mu n}} \approx -\frac{M_e \alpha^2 e^{-b_n |\mathbf{x}_e - \mathbf{x}'_e|}}{2\pi |\mathbf{x}_e - \mathbf{x}'_e|}, \quad (15)$$

$$b_n = \sqrt{2M_e(E_{\mu n} - E_{\mu 2S} - E_{e1S})}.$$

Это приближение можно улучшить, используя ряд теории возмущений для функции Грина электрона как в [9]. Тогда для интегрирования по координатам в (14) можно использовать условие полноты:

$$\sum_{n \neq 2S} \psi_{\mu n}(\mathbf{x}_\mu) \psi_{\mu n}^*(\mathbf{x}'_\mu) = \delta(\mathbf{x}_\mu - \mathbf{x}'_\mu) - \psi_{\mu 2S}(\mathbf{x}_\mu) \psi_{\mu 2S}^*(\mathbf{x}'_\mu). \quad (16)$$

Вначале вычисляется интеграл по координате электрона в (14):

$$\begin{aligned} I &= \int d\mathbf{y}_1 \frac{e^{-b_n |\mathbf{x}_1 - \mathbf{y}_1|}}{|\mathbf{x}_1 - \mathbf{y}_1| |\mathbf{y}_2 - \mathbf{y}_1|} \psi_{e1S}(\mathbf{y}_1) \approx \psi_{e1S}(0) \frac{4\pi (1 - e^{-b_n |\mathbf{x}_1 - \mathbf{y}_2|})}{b_n^2 |\mathbf{x}_1 - \mathbf{y}_2|} \approx \\ &\approx \psi_{e1S}(0) 4\pi \left[ \frac{1}{b_n} - \frac{|\mathbf{x}_1 - \mathbf{y}_2|}{2} + \frac{b_n |\mathbf{x}_1 - \mathbf{y}_2|^2}{6} + \dots \right], \end{aligned} \quad (17)$$

где также использовано разложение по параметру отдачи  $a_1$ , связанному с  $b_n$ . Вклад первого слагаемого в квадратных скобках равен 0 из-за ортогональности волновых функций мюона, а второе слагаемое дает вклад лидирующего порядка по  $a_1$ , который после вычисления координатных интегралов имеет вид:

$$\Delta E_{2S}^{(2)}(n = 2S) = M_e \alpha^2 a_1^2 \left( -56 + \frac{20073}{64} a_1 + \frac{137165}{128} a_1^2 \dots \right). \quad (18)$$

Если мюон находится в состоянии  $2P$ , то аналогичный вклад равен

$$\Delta E_{2P}^{(2)}(n = 2P) = M_e \alpha^2 a_1^2 \left( -40 + \frac{12441}{64} a_1 + \frac{79997}{128} a_1^2 \dots \right). \quad (19)$$

Суммарный вклад первого и второго порядков ТВ по  $\Delta H$  имеет вид:

$$\Delta E(2P - 2S) = 8W_e \alpha a_1^2 \left( 1 - 10a_1 + \frac{2}{(Z-1)} - \frac{10}{(Z-1)} a_1 \right), \quad (20)$$

где мы удержали в круглых скобках лишь члены первого порядка по  $a_1$ .

Наряду с кулоновской поправкой (20) необходимо учесть и другие поправки на поляризацию вакуума, структуру ядра и отдачу для получения полного значения мюонного лэмбовского сдвига. Поправки такого типа были вычислены в мюонных ионах в [22, 23].

*Вариационный метод.* Для проверки полученных аналитических результатов использовался вариационный метод [10, 16]. Волновая функция системы трех частиц для  $S$ -состояний представлялась в виде:

$$\Psi(\boldsymbol{\rho}, \boldsymbol{\lambda}, A_{ij}^i) = \sum_{i=1}^K C_i \psi_i(\boldsymbol{\rho}, \boldsymbol{\lambda}, A_{ij}) = \sum_{i=1}^K C_i e^{-\frac{1}{2}[A_{11}^i \boldsymbol{\rho}^2 + 2A_{12}^i \boldsymbol{\rho} \boldsymbol{\lambda} + A_{22}^i \boldsymbol{\lambda}^2]}, \quad (21)$$

где коэффициенты  $C_i$  представляют собой набор линейных вариационных параметров, а  $A_{ij}$  – матрица нелинейных параметров. Координаты Якоби  $\boldsymbol{\rho}$  и  $\boldsymbol{\lambda}$  связаны с радиусами-векторами ядра  $\mathbf{r}_1$ , мюона  $\mathbf{r}_2$  и электрона  $\mathbf{r}_3$ :

$$\boldsymbol{\rho} = \mathbf{r}_2 - \mathbf{r}_1, \quad \boldsymbol{\lambda} = \mathbf{r}_3 - \frac{m_1 \mathbf{r}_1 + m_2 \mathbf{r}_2}{m_1 + m_2}. \quad (22)$$

Задача состояла в том, чтобы найти такие значения параметров и коэффициентов разложения, чтобы среднее значение гамильтониана было минимальным. Для нахождения энергий связанных состояний уравнение Шредингера с кулоновским взаимодействием трех частиц сводилось к решению матричной задачи на собственные значения следующего вида:

$$HC = E^\lambda BC, \quad (23)$$

где матричные элементы  $H_{ij} = \langle \psi_i | H | \psi_j \rangle$  и  $B_{ij} = \langle \psi_i | \psi_j \rangle$  вычислены аналитически с помощью вариационных волновых функций.  $E^\lambda$  – собственное значение энергии. Верхнюю оценку энергии состояния системы трех частиц в вариационном подходе давало наименьшее собственное значение обобщенной задачи на собственные значения.

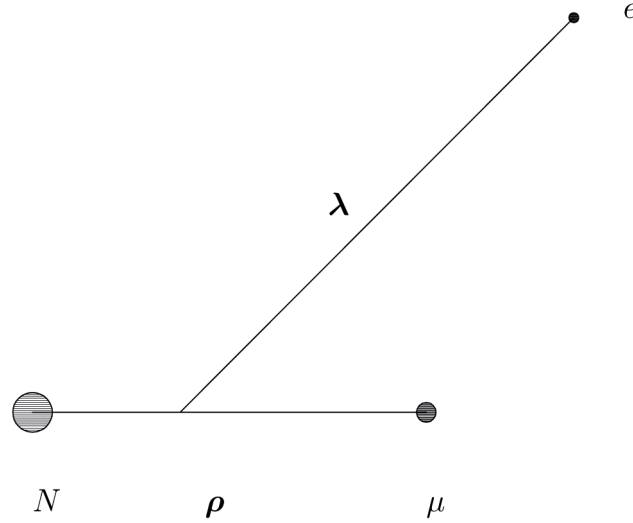


Рис. 1: Трехчастичный ион:  $N$  – ядро,  $\mu$  – мюон,  $e$  – электрон.

Плотности радиального распределения по  $\rho$  и  $\lambda$ , а также среднеквадратичные значения  $\sqrt{\langle \rho^2 \rangle}$ ,  $\sqrt{\langle \lambda^2 \rangle}$  равны

$$W(\rho) = \frac{8\sqrt{2}\pi^{5/2}}{\langle \Psi | \Psi \rangle} \sum_{i,j=1}^K \frac{C_i C_j}{B_{22}^{3/2}} \rho^2 e^{-\frac{1}{2}\rho^2 \frac{\det B}{B_{22}}}, \quad W(\lambda) = \frac{8\sqrt{2}\pi^{5/2}}{\langle \Psi | \Psi \rangle} \sum_{i,j=1}^K \frac{C_i C_j}{B_{11}^{3/2}} \lambda^2 e^{-\frac{1}{2}\lambda^2 \frac{\det B}{B_{11}}}, \quad (24)$$

$$W(\rho, \lambda) = \frac{16\pi^2}{\langle \Psi | \Psi \rangle} \sum_{i,j=1}^K \frac{C_i C_j}{B_{12}} \rho \lambda e^{-\frac{1}{2}[\rho^2 B_{11} + \lambda^2 B_{22}]} \text{sh}(B_{12} \rho \lambda), \quad B_{lk} = A_{lk}^i + A_{lk}^j, \quad (25)$$

$$\langle \rho^2 \rangle = \frac{24\pi^3}{\langle \Psi | \Psi \rangle} \sum_{i,j=1}^K C_i C_j \frac{B_{22}}{(\det B)^{5/2}}, \quad \langle \lambda^2 \rangle = \frac{24\pi^3}{\langle \Psi | \Psi \rangle} \sum_{i,j=1}^K C_i C_j \frac{B_{11}}{(\det B)^{5/2}}. \quad (26)$$

Плотности радиального распределения представлены на рис. 2, 3 и 4 для мюонных ионов лития, бериллия и бора. Эти графики показывают наличие двух характерных расстояний в системе частиц ( $N - \mu - e$ ). Среднеквадратичные значения  $\rho_N = \sqrt{\langle \rho^2 \rangle}$  и  $\lambda_N = \sqrt{\langle \lambda^2 \rangle}$  для мюон-электронных ионов представлены в табл. 1. Они уменьшаются с возрастанием заряда ядра  $Z$ .

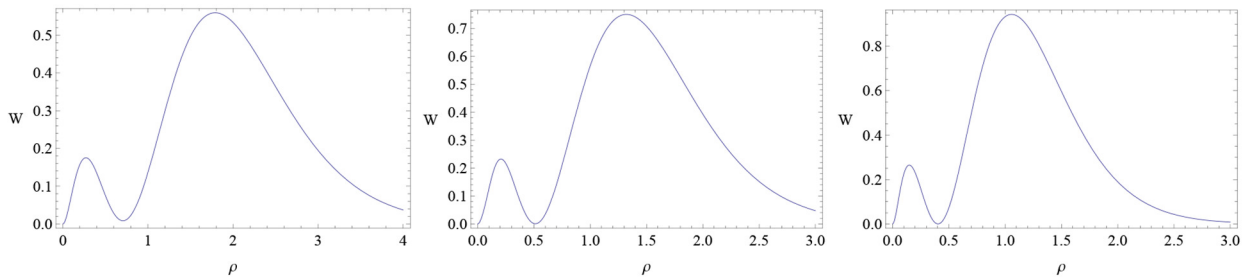


Рис. 2: Плотности радиальных распределений  $W(\rho)$  для состояний  $2S^{(\mu)}1S^{(e)}$  в мюонных ионах лития, бериллия и бора. Значения переменных  $\rho$  выражены в мюонных атомных единицах.

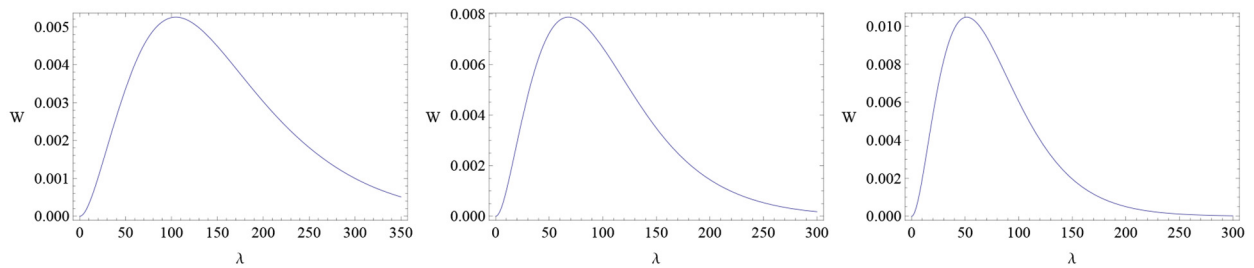


Рис. 3: Плотности радиальных распределений  $W(\lambda)$  для состояний  $2S^{(\mu)}1S^{(e)}$  в мюонных ионах лития, бериллия и бора. Значения переменной  $\lambda$  выражены в мюонных атомных единицах.

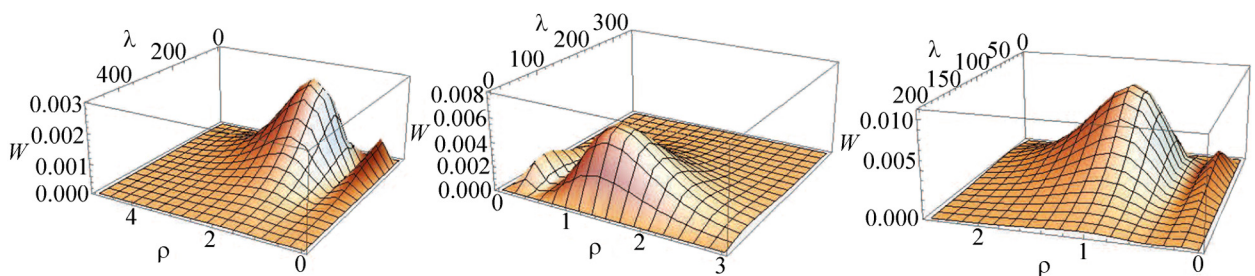


Рис. 4: Радиальная плотность вероятности  $W(\rho, \lambda)$  для  $(\mu^7Li)$ ,  $(\mu^9Be)$ ,  $(\mu^{11}B)$ . Значения переменных  $\rho$  и  $\lambda$  выражены в мюонных атомных единицах.

Наши численные расчеты вариационным методом проводились в среде MATLAB [10]. Численные значения энергии состояний  $2S^{(\mu)}1S^{(e)}$  и  $2P^{(\mu)}1S^{(e)}$ , а также значения лэмбовского сдвига представлен в табл. 1. В последнем столбце представлен результат аналитического расчета.

Т а б л и ц а 1

Численные значения кулоновских поправок к мюонному лэмбовскому сдвигу. В последнем столбце представлены результаты аналитического расчета лэмбовского сдвига

$N - \mu - e$	$\rho_N$ , фм	$\lambda_N$ , фм	$2S$ , $\mu$ .а.е.	$2P$ , $\mu$ .а.е.	$(2P-2S)$ , мэВ	$(2P-2S)$ , мэВ
${}^3_2\text{He} - \mu - e$	857	$0.91 \cdot 10^5$	-0.48428998695	-0.48428934525	3.61	4.04
${}^4_2\text{He} - \mu - e$	852	$0.91 \cdot 10^5$	-0.48863657185	-0.48863598056	3.33	3.97
${}^7_3\text{Li} - \mu - e$	560	$0.46 \cdot 10^5$	-1.11677317289	-1.11677141828	9.87	9.12
${}^9_4\text{Be} - \mu - e$	417	$0.30 \cdot 10^5$	-1.99690898465	-1.99690691728	11.63	14.25
${}^{11}_5\text{B} - \mu - e$	334	$0.23 \cdot 10^5$	-3.13302438038	-3.13302043843	22.18	19.30

*Заключение.* При расчете части вкладов аналитически мы использовали приближение, связанное с заменой точной функции Грина электрона на свободную. В этом случае мы пренебрегали поправками порядка  $\sqrt{M_e/M_\mu}$  по сравнению с рассчитанными членами (см. уравнение (15)). Численно  $\sqrt{M_e/M_\mu} \approx 0.1$ , поэтому основная погрешность аналитических расчетов составила примерно 10 процентов. Выполнив расчет лэмбовского сдвига в рамках вариационного метода, мы, с одной стороны, проверили результаты аналитических расчетов, а с другой – повысили точность вычислений. В табл. 1 мы представили результаты с точностью до двух знаков после запятой для сравнения с аналитическими результатами. Сравнение результатов, полученных разными методами, показало, что они согласуются друг с другом в пределах возможной теоретической погрешности аналитических расчетов.

Измерение лэмбовского сдвига в двухчастичных мюонных атомах и ионах коллаборацией CREMA [1] позволило получить на порядок более точные значения зарядовых радиусов протона, дейтрона и альфа-частицы. Это было достигнуто после точных расчетов лэмбовского сдвига, которые учитывали эффекты поляризации вакуума, структуры ядра, релятивистских поправок и эффектов смешанного типа высших порядков в  $\alpha$  и отношении масс частиц [22, 23]. В этой работе мы изучили влияние эффектов кулоновского взаимодействия частиц на величину мюонного лэмбовского сдвига в трехчастичных системах мюон–электрон–ядро. Наличие электрона приводит к дополнительному кулоновскому взаимодействию с мюоном и ядром и изменяет величину лэмбовского



сдвига по сравнению с двухчастичными системами. Численные значения кулоновской поправки для различных мюон-электронных систем представлены в табл. 1. Отметим, что вычисленный в данной работе впервые вклад кулоновского взаимодействия мюона и электрона в мюонный лэмбовский сдвиг в трехчастичных системах ядро–мюон–электрон исследовался ранее в нашей работе [8] в случае электронного лэмбовского сдвига.

Учитывая результаты из табл. 1 (результаты аналитического расчета) и из работ [22, 23], (см. полные значения в Таблице [21] по мюонному гелию и Таблицах I–III [22] по ионам мюонного лития, бериллия и бора), мы получаем полные значения мюонного лэмбовского сдвига ( $L_s$ ) в мюон-электронных ионах гелия, лития, бериллия и бора (изотопы со спином  $3/2$ ):

$$E^{L_s}(^3_2He) = 1263.90 \text{ мэВ}, \quad E^{L_s}(^4_2He) = 1383.08 \text{ мэВ}, \quad (27)$$

$$E^{L_s}(Li) = 1540.90 \text{ мэВ}, \quad E^{L_s}(Be) = -1238.57 \text{ мэВ}, \quad E^{L_s}(B) = -7981.03 \text{ мэВ}.$$

Кулоновское взаимодействие частиц в трехчастичных системах приводит к небольшому, но существенному изменению величины мюонного лэмбовского сдвига по сравнению с двухчастичными мюонными системами. Учет вычисленной поправки необходим, например, для извлечения значения зарядового радиуса гелиона и  $\alpha$ -частиц с точностью, превышающей 0.01 фм при его измерении в трехчастичных атомах.

Работа выполнена при поддержке РНФ (grant 23-22-00143).

#### Л И Т Е Р А Т У Р А

- [1] A. Antognini, F. Kottmann, R. Pohl, SciPost Phys. Proc. **5**, 021 (2021). DOI: 10.21468/SciPostPhysProc.5.021.
- [2] J. J. Krauth, K. Schuhmann, M. A. Ahmed, et al., Nature **589**, 527 (2021). DOI: 10.1038/s41586-021-03183-1.
- [3] A. Antognini, F. Hagelstein, V. Pascalutsa, Annu. Rev. Nucl. Part. Sci. **72**, 389 (2022). DOI: 10.1146/annurev-nucl-101920-024709.
- [4] S. Schmidt, M. Willig, J. Haack, et al., J. Phys.: Conf. Ser. **1138**, 012010 (2018). DOI: 10.1088/1742-6596/1138/1/012010.
- [5] S. Fukumura, P. Strasser, I. Takashi, et al. [J-PARC Collaboration], EPJ Web Conf. **262**, 010012 (2022). DOI: 10.1051/epjconf/202226201012.
- [6] C. J. Gardner, A. Badertscher, W. Beer et al., Phys. Rev. Lett. **48**, 1168 (1982). DOI: 10.1103/PhysRevLett.48.1168.

- [7] V. I. Korobov, A. P. Martynenko, F. A. Martynenko, R. N. Faustov, Bulletin of the Lebedev Physics Institute **49**(6), 158 (2022). DOI: 10.3103/S1068335622060033.
- [8] A. E. Dorokhov, V. I. Korobov, A. P. Martynenko, F. A. Martynenko, Phys. Rev. A **103**, 052806 (2021). DOI: 10.1103/PhysRevA.103.052806.
- [9] R. N. Faustov, V. I. Korobov, A. P. Martynenko, F. A. Martynenko, Phys. Rev. A **105**, 042816 (2022). DOI: 10.1103/PhysRevA.105.042816.
- [10] A. P. Martynenko, F. A. Martynenko, V. V. Sorokin, et al., Bulletin of the Lebedev Physics Institute **46**(4), 143 (2019). DOI: 10.3103/S1068335619040092.
- [11] S. I. Vinitzky, L. I. Ponomarev, Fiz. Elem. Chast. Atom. Yadra **13**, 1336 (1982).
- [12] S. I. Vinitzky, V. S. Melezhik, L. I. Ponomarev, et al., Sov. Phys. JETP **52**, 353 (1980).
- [13] A. M. Frolov, Phys. Rev. A **61**, 022509 (2000). DOI: 10.1103/PhysRevA.61.022509.
- [14] M. K. Chen, C. S. Hsue, Phys. Rev. A **1940**, 5520 (1989). DOI: 10.1103/PhysRevA.40.5520.
- [15] K. Varga, Y. Suzuki, Comp. Phys. Comm. **106**, 157 (1997). DOI: 10.1016/S0010-4655(97)00059-3.
- [16] D. T. Aznabayev, A. K. Bekbaev, V. I. Korobov, PEPAN Letters **15**, 236 (2018).
- [17] V. I. Korobov, Phys. Part. Nucl. **53**(1), 5 (2022). DOI: 10.1134/S1063779622010038.
- [18] S. D. Lakdawala, P. Mohr, Phys. Rev. A **29**, 1047 (1984). DOI: 10.1103/PhysRevA.29.1047.
- [19] M. Ya. Amusia, M. Ju. Kuchiev, V. I. Yakhontov, J. Phys. B **16**, L71 (1983). DOI: 10.1088/0022-3700/16/3/007.
- [20] S. G. Karshenboim, V. G. Ivanov, V. I. Korobov, Phys. Rev. A **97**, 022504 (2018). DOI: 10.1103/PhysRevA.97.022504.
- [21] A. A. Krutov, A. P. Martynenko, Phys. Rev. A **78**, 032513 (2008). DOI: 10.1103/PhysRevA.78.032513.
- [22] A. A. Krutov, A. P. Martynenko, G. A. Martynenko, R. N. Faustov, Jour. Exp. Theor. Phys. **120**, 73 (2015). DOI: 10.1134/S1063776115010033.
- [23] A. A. Krutov, A. P. Martynenko, F. A. Martynenko, O. S. Sukhorukova, Phys. Rev. A **94**, 062505 (2016). DOI: 10.1103/PhysRevA.94.062505.

Поступила в редакцию 13 февраля 2023 г.

После доработки 24 апреля 2023 г.

Принята к публикации 25 апреля 2023 г.

*Публикуется по докладом, представленным на XX Всероссийской молодежной Самарской конкурс-конференции научных работ по оптике и лазерной физике, посвященной 100-летию со дня рождения Н. Г. Басова.*